同種・異種材料接合構造における縦型リーキーSAW の伝搬・共振特性

Propagation and Resonance Properties of Longitudinal Leaky SAW on Bonded Structures Consisting of Similar and Dissimilar Materials
山梨大 (M1)藤井 雄大, 鈴木 雅視, 垣尾 省司

University of Yamanashi, °Yudai Fujii, Masashi Suzuki, and Shoji Kakio E-mail: g21te020@yamanashi.ac.jp

1. はじめに

近年,弾性表面波(SAW)デバイスの高周波化に有利な位相速度の速い縦型リーキーSAW(LLSAW)が注目されているが,本質的に大きな伝搬減衰を有している。当研究グループでは, $LiTaO_3$ (LT)や $LiNbO_3$ 薄板を水晶(Quartz:Qz)支持基板と接合させた異種材料接合構造によるLLSAWの低損失化,高Q化,高結合化,高安定化を実現したが,0.1 波長以下の薄い板厚が必要である \Box . 一方,著者らはオイラー角の異なる Qz 同士の同種材料接合構造によるLLSAWの低損失化,高Q化を理論的に明らかにしたが,比帯域幅が0.1%以下と狭い \Box 1.

本報告では、Qz同種材料接合上にLT薄板を接合させた構造上のLLSAW伝搬・共振特性を理論的に解析した結果について報告する

2. 伝搬特性

高QなLLSAW 共振特性を示すX176.5°Y-Qz/X41°Y-Qz^[2]上にLT薄板を接合させた構造上のLLSAW 伝搬特性を解析した。Fig. 1 に X-LT/X176.5°Y-Qz/X41°Y-Qz における短絡表面の伝搬減衰を示す。横軸はX-LTのY軸からの伝搬角 ψ であり,図中のパラメータは波長 λ で規格化したLT板厚 $h_{\rm LT}/\lambda$ である。 $h_{\rm LT}/\lambda$ =0.6, ψ =15°のとき,伝搬減衰は最小値(2.8×10⁻⁴ dB/ λ)を示した。その結合係数 K^2 は 1.15%であり,X176.5°Y-Qz/X41°Y-Qzの K^2 (0.14%)の約8倍である。さらに, $h_{\rm LT}/\lambda$ =0.5,0.7 においても伝搬減衰の低減が見られ,比較的厚いLT規格化板厚で低伝搬減衰を示した。

3. 共振特性

上述の低伝搬減衰を示した X15°Y-LT(h_{LT}/λ =0.60)/X176.5°Y-Qz/X41°Y-Qz 接合構造に無限 周期の Al 製すだれ状電極(IDT, λ=8 μm)を設け たモデルに対して,有限要素法により解析した LLSAW 共振特性をFig. 2 に示す. A1 膜厚を 100 nm とし、機械損は考慮していない. 約60 dB のアドミタンス比, 0.67%の比帯域幅を示した. その比帯域幅は X176.5°Y-Qz/X41°Y-Qz の値 (0.086%)と比較して約8倍であった. Fig. 3に X15°Y-LT/X176.5°Y-Qz/X41°Y-Qz 接合構造の 共振周波数における粒子変位分布を示す. LLSAW の主変位である縦波成分(u1)が横波成 分(u2, u3)よりも大きな振幅を示しており,位相 速度が遅い X176.5°Y-Qz の中間層に変位が集 中することがわかる. このため, 基板内への漏 洩成分が小さくなったと考えられる.

今後はLT薄板内に変位が集中するような構造を探索し、より高性能な構造を検討する.

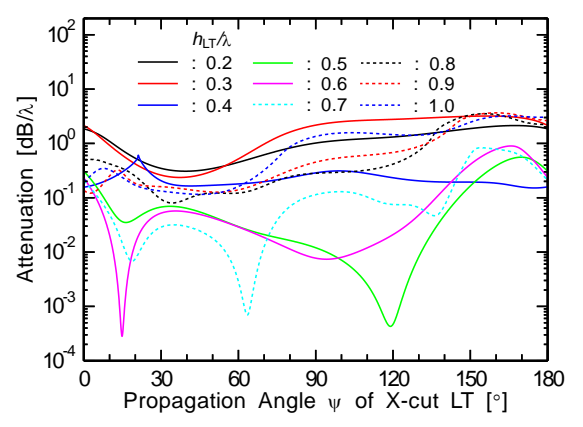


Fig. 1 Calculated attenuation of LLSAW on X176.5°Y-Qz/X41°Y-Qz.

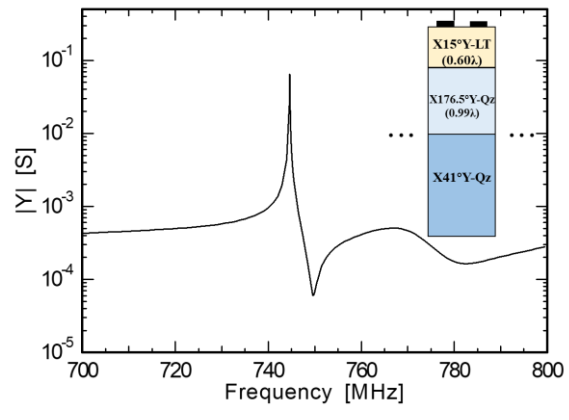


Fig. 2 Simulated resonance properties of LLSAW on X15°Y-LT($h_{LT}/\lambda = 0.60$)/X176.5°Y-Qz/X41°Y-Qz.

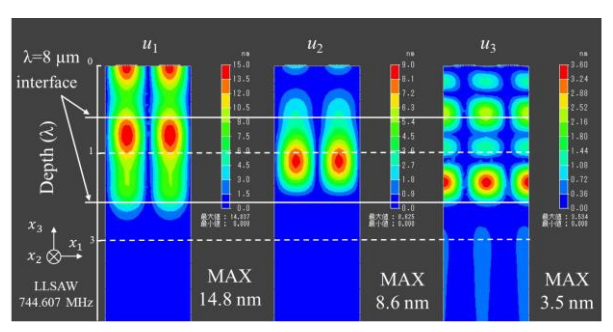


Fig. 3 Simulated particle displacements of LLSAW on X15°Y-LT($h_{LT}/\lambda = 0.6$)/X176.5°Y-Qz/X41°Y-Qz.

参考文献

- [1] J. Hayashi, et al., JJAP **58**, SGGC12 (2019).
- [2] 藤井, 他, 第 82 回応物秋, 11p-S401-15, (2021).